

森 海岸における海浜変形について

愛媛大学工学部 正員 布沼忠男

〃 〃 伊福 誠

〃 学生員 ○藤原隆一

1. はじめに

現地海岸は、3次元空間であり時間的にも絶えず変化しているので、海浜変形の機構を知るには現地での詳細な観測が必要であると考える。Winant・Inman・Nordstromは、カリフォルニアの太平洋岸の3年間の観測結果を主成分分析法を用いて解析し、橋本・宇多は、Winantらが測定値をそのまま用いたのに比べて平均地形からの変動量を用い、阿字ヶ浦海岸の漂砂観測栈橋での4年間の資料を同様の手法で解析した。野田は、主成分分析法を拡張した因子分析法およびWinantらが用いた主成分分析法を用いて鳥取海岸での10年間にわたる深浅測量の結果を解析している。こうしたことから、伊予市森海岸を対象領域とし、約8ヶ月にわたり海浜変形の過程を観測してきた。

2. 観測方法

昭和56年5月22日に汀線に沿い3列にされざれ、10本ずつ外径約6cm、長さ150~170cmの鉄パイプを地中約20cmまで30本埋設した。沿岸方向、岸沖方向へ陸部と中間部のパイプおよび中間部と沖部のパイプの間隔は、3mされざれ、約5m、6mおよび11mである(図-1)。観測は、昭和56年6月3日より10月31日までは月2回、それ以後は月1回、それされ大潮への干潮時に実施した。

3. 解析結果

浜表面の底質：図-2(a)は、6月17日のものである。浜全域の表面に砂が分布していることがわかる。また、礫か玉石でもあまり径の大きなものは存在しない。図-2(b)は、12月11日のものである。この頃になると砂が激減し、ほとんどすべての測点付近は、径が約5cmの礫あるいは約10cmの玉石でおおわれる。観測期間中、6~11月にかけては浜全域の表面は砂が多く、砂の領域は、ほぼ陸部の測線と中間部の測線の間に存在している。12月~翌年1月にかけては、砂の領域がかなり小さくなり、浜全域にわたり径約10cmの玉石が存在し始める。

Crest: 図-2(a)では明瞭であるがCrestも図-2(b)では短くなり、測点7~10付近には存在しない。このことは、冬期には、夏に比較し波高が大きくなるのが原因ではないかと思われる。

変動率：変動率を前の測定値より後の測定値を引き、後の測定値を割、そのと定義した。図-3は、岸沖方向の変動率の経時変化を示したもので図中の実線および点線は、されざれ、堆積および侵食を表している。この図をみると、陸部の測点での変動率が極めて大きいことがわかる。これは、陸部の測点付近にCrestが形成され、陸側および岸側に移動を繰り返すためと思われる。中間部の各測点は、陸部に近い所に設置してあるが、変動率の傾向は沖部に似ている。こうしたこととは、陸部および中間部が潮間帯にあり、陸部は満潮時の汀線附近

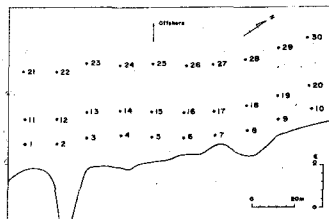
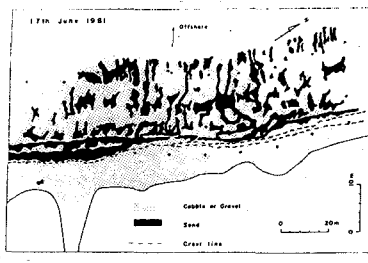
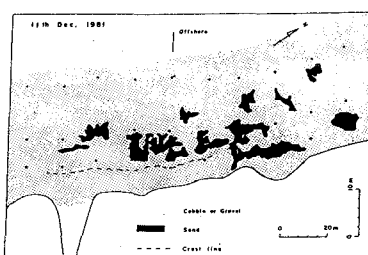


図-1 パイプの埋設領域



(a)



(b)

図-2 (a),(b) 目視観測による海浜の状況

にあるため、潮位変動および碎波後の打ち上げ等の影響を受けるためと思われる。また、陸部の変動量は、沖部のそれの約3倍である。

主成分分析による解析：解析した断面は測点2・12・22、4・14・24、6・16・26、8・18・28および10・20・30を結ぶ5断面であり、以下これを水路-II、L-I、L-II、L-IVおよびL-Vと呼ぶことにする。各測線の岸側の測点を零点とし、零点より陸側に1mごとに3点および沖方向に5mごとに5点と沖側、中間部の2測点、あわせて1断面につき11点を設定し、その測定値をもとに主成分分析法により解析し、固有関数および時間関数を求め、これらについて検討した。図-4(a)および(b)は、それぞれ、L-IVの固有関数および時間関数を示したものである。固有値の大きさの順にe₁、e₂、e₃、e₄およびe₅、それに対応する時間関数をC₁、C₂、C₃、C₄およびC₅とする。e₁は、全域が正値で零点より陸側1mの地点で極値を示している。e₁は9月30日まで正であり、10月31日にかけて負の勾配を示し、それ以後、勾配は徐々に小さくなっている。9月30日から10月16日にかけて約15cmと大きく侵食されたり、その後も徐々に侵食されていることを考えると、e₁が負の勾配であることは、侵食されたことを表していると思われる。e₂は、20mまで負で、それより沖側では正の値であり、25m付近で極大値を示している。e₃は、零点付近で極大値を示し、e₄は、6月17日から7月3日にかけてCrestが後退し、9月30日にCrestが形成されたことを表しているのは明らかである。e₅は、5mまで負であり5m付近で極大値を示している。e₆は、8月3日から8月29日にかけて正の勾配であり、この時期に零点の陸側でCrestが形成されたことを表しているのではないかと思われる。e₇は、L-IVの経時変化を示したものである。この図をみると、6月3日零点付近に明確に形成されたCrestは10月16日には不明瞭になり、ほぼ平均断面に近くなくなっている。また、1月25日には、ほぼ15mから陸側で大幅に侵食され、Crestもなくなることがある。また、1月25日には、25mから陸側の領域で10月16日よりも約20~50cm侵食され、Crestもなくなっていることがわかる。図-1に示す、測点23より沖合約9mの地点に波高計および流速計を設置して、1982年1月28日および19日観測記録から、その点での碎波波(m)高は約1m、岸向きの水平水粒子速度は約70cm/secである。したことから、この両日の波浪により各測線において12月11日から1月25日にかけてかなり侵食が進んでいる。固有関数e₁は、橋本・宇多が得た傾向と似ており、測線全域が正値を示した。また、時間関数e₄は、観測期間が短いため長周期の変動はみられなかつた。e₁~e₅およびC₁~C₅については、局的な変動を表しているものと思われるが、観測期間が短かつたため、引き続き観測を行い、詳細に検討する必要があると考える。

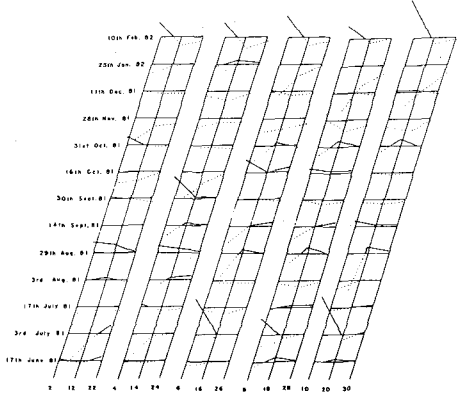
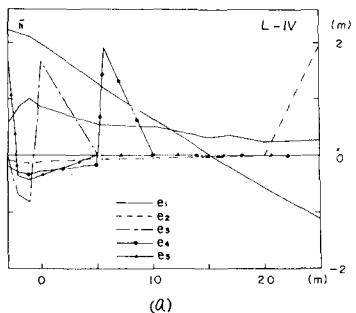
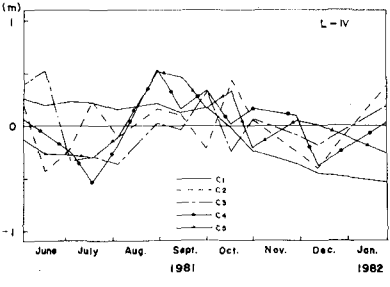


図-3 岸沖方向の変動率の経時変化



(a)



(b)

図-4(a), (b) L-IVの固有関数および時間関数

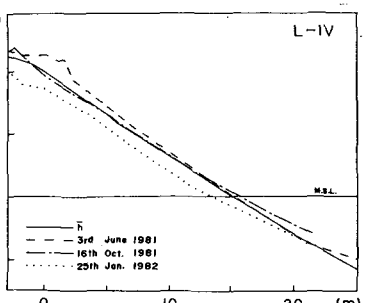


図-5 L-IVの経時変化